

Machine asynchrone

Par : Pr TAIBI Soufiane

1. Constitution et principe de fonctionnement de la machine asynchrone

2. Aspect électrique de la machine asynchrone

2.1. Schéma électrique équivalent

Fonctionnement avec rotor ouvert

Fonctionnement avec rotor en court circuit et bloqué (à l'arrêt)

Fonctionnement en rotation à vide

Fonctionnement en rotation en charge

Schéma électrique simplifié de la machine asynchrone

3. Bilan de puissance

4. Etude de la courbe du couple électromécanique

5. Utilisation d'un rhéostat de démarrage

6. Extension du fonctionnement

2. Aspect électrique de la machine asynchrone

2.1. Schéma électrique équivalent

Aspect électrique de la MAS. Schémas électriques équivalents. 3
Fonctionnement à vide (Rotor ouvert).

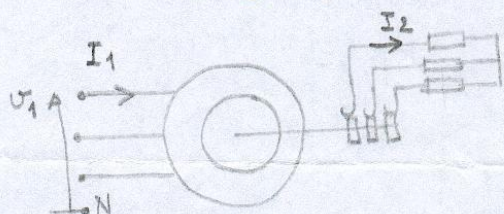
Dans le cas d'un rotor bobiné, triphasé (l'étude peut s'étendre aux autres cas Rotor à cage).

1^{er} Cas: bagues ouvertes \Rightarrow rotor à l'arrêt. \rightarrow

- On alimente le bobinage statorique (primaire) \Rightarrow création dans d'entrefer d'un champ tournant d'amplitude Φ_M .
- Pendant cet essai la MAS consomme du réseau un courant très faible I_{10} Courant à vide.

Rotor ouvert $\Rightarrow [I_2 = 0]$.

- Nous allons avoir création d'une f.e.m E_2 au borne de chaque phase de l'enroulement rotorique.



Cette f.e.m s'exprime (vu au chapitre I). par :

$$E_2 = K b_2 \cdot 4,44 \cdot f \cdot n_2 \cdot \phi_m \quad \text{en complexe : } \bar{E}_2 = -j K b_2 \cdot 4,44 f n_2 \bar{\Phi}_m$$

E_2 : f.e.m efficace induite au niveau des phares du rotor.

f : fréquence ^{de courants} d'alimentation.

n_2 : Nbr de spires par pôle et par phase du rotor

ϕ_m : l'amplitude de champ tournant résultant.

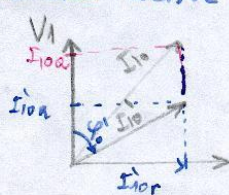
- A cette f.e.m correspond au stator une f.e.m E_1 qui s'écrit :

$$E_1 = K b_1 \cdot 4,44 f \cdot n_1 \cdot \phi_m \quad \text{Formule de Kapp.}$$

$$\Rightarrow \frac{E_2}{E_1} = \frac{K b_2 \cdot n_2}{K b_1 \cdot n_1} = \frac{n_2}{n_1} = m$$

On trouve les résultats du transformateur à vide.

RQ: Le courant d'intensité I_{10} absorbé à vide a une composante active et une composante réactive. Figure



I_{10a} Consomée aux pertes :

- Joule statorique
- fer stator
- fer rotor

$$\begin{aligned} \text{L'ensemble des pertes à vide } P_{10} &= 3 V_1 I_{10a} \\ &= 3 V_1 I_{10} \cos \varphi_1 \end{aligned}$$

2^{em} cas : Rotor en CC (bagues fermées). $[I_2 \neq 0]$.

L'enroulement rotorique, dans ce cas, permet d'écrire pour une phase :

$$\bar{V}_2 = \bar{E}_2 - R_2 \bar{I}_2 - j X_2 \bar{I}_2 \quad | = R_2 \quad | \quad R_2 : \text{Résistance d'une phase du rotor}$$

X_2 : Réactance de fuite d'une phase du rotor
($X_2 = wL_2$).

Au stator : $\bar{V}_1 = R_1 \bar{I}_1 + j l_1 w \bar{I}_1 + \bar{E}_1$

$$\bar{E}_2 = R_2 \bar{I}_2 + j l_2 w \bar{I}_2$$

R_1 : Résistance d'une phase statorique

$l_1 w$: Réactance de fuite d'une phase statorique.

Schéma équivalent (Rotor en CC, Bloqué).

Le schéma est identique à un transformateur.

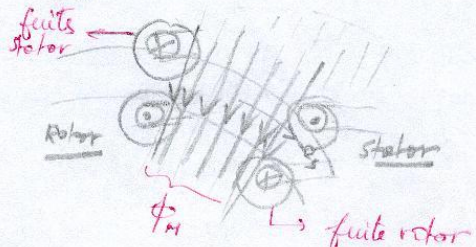
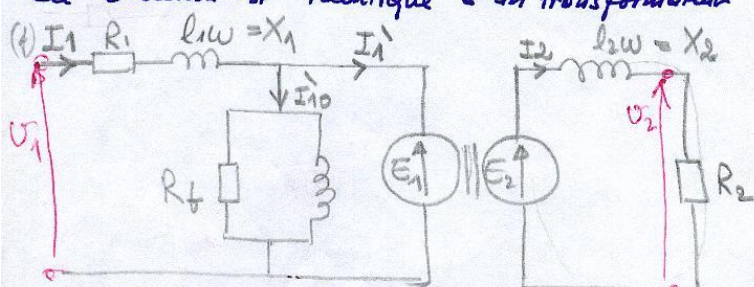


Schéma équivalent d'un moteur à rotor bloqué à l'arrêt.
(charge au secondaire ≠ en CC).

Conclusion :

Le MAS triphasé se comporte à l'arrêt ($g=1$) comme un transformateur triphasé classique. Il est le plus souvent abaisseur de tension.

3^{em} Cas : Moteur Asynchrone en rotation à vide.

- à vide le glissement est très faible ($g \approx 0$)

- L'intensité I_{10} du courant à vide statorique

Le courant I_{10a} correspond aux pertes fer du stator
seulement car le flux dans le rotor à une très faible valeur (g proche de 0)
et lentement variable

ici on a

{ les pertes fer stator	I _{10a}
les pertes mécanique	
pertes joule statoriques	I _{10e}

$$P_{10} = 3 V_1 I_{10a} = 3 V_1 I_{10} \cos \varphi$$

Remarque :

Très souvent $I_{10a} > I_{10e}$ ce qui signifie que les pertes fer dans le rotor à $g=1$ sont inférieures aux pertes mécanique à $g \approx 0$.

4em Cas: Moteur Asynchrone en charge: 5

Ici le rotor entraîne une charge mécanique, le glissement vaut g .

- le champ tournant ϕ_m tourne à une vitesse $= \Omega_s$.

- le rotor tourne dans le même sens du champ à la vitesse Ω .

⇒ le bobinage rotorique voit le champ tournant ϕ_m à la vitesse $(\Omega_s - \Omega)$

⇒ La fréquence des courants rotoriques induits vaut : *

$$f_r = \frac{P(\Omega_s - \Omega)}{2\pi}$$

$$\text{comme } g = \frac{\Omega_s - \Omega}{\Omega_s} \rightarrow g\Omega_s = (\Omega_s - \Omega)$$

$$\rightarrow f_r = \frac{Pg\Omega_s}{2\pi} = \frac{g\omega}{2\pi} = g \cdot f \quad \text{d'où} \quad f_r = g \cdot f.$$

⇒ la pulsation des courants rotoriques vaut: $\boxed{\omega_R = g\omega}$

• La réactance X_2 devient alors $\boxed{X'_2 = gX_2}$.

• La fém par phase au rotor devient un valeur efficace

$$\boxed{E'_2 = gE_2}.$$

On obtient alors, par phase, au rotor :

$$\bar{V}_2 = \underbrace{\bar{E}'_2}_{j\bar{E}_2} - R_2 \bar{I}_2 - jg \underbrace{X'_2}_{X_2} \bar{I}_2 \rightarrow \text{fréquence } (g \cdot f).$$

bobinage du rotor en CC ⇒ $\bar{V}_2 = 0$.

$$\Rightarrow \boxed{\bar{I}_2 = \frac{g \bar{E}_2}{R_2 + jg X_2}} \rightarrow \text{fréquence } (g \cdot f).$$

$$\boxed{I_2 = \frac{g E_2}{\sqrt{R_2^2 + (g X_2)^2}}} \quad \text{pour les moteurs à rotor à cage ou bobiné.}$$

Si dans les cas du moteur à rotor bobiné les phasors rotoriques peuvent débiter sur un rhéostat de démarrage $R \Rightarrow$ donc le cas:

$$\boxed{\bar{E}_2 = \frac{g \bar{E}_2}{(R + R_2) + jg X_2}}$$

schéma équivalent de la MAS en rotation

6

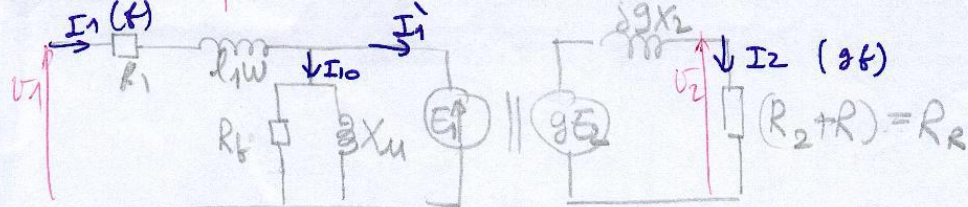
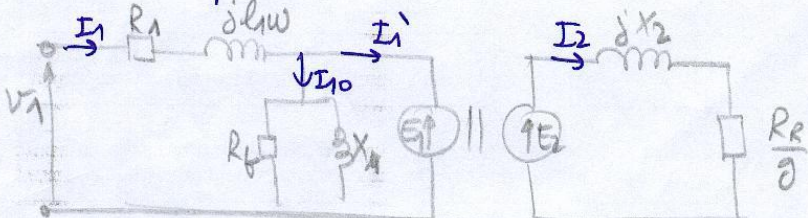


schéma équivalent de la MAS à rotor bobiné en rotation

Le courant \bar{I}_2 est pour fréquence $g \cdot f$.

$$\bar{I}_2 = \frac{g E_2}{R_R + j g X_2} \Rightarrow \boxed{\bar{I}_2 = \frac{E_2}{\frac{R_R}{g} + j X_2}}$$

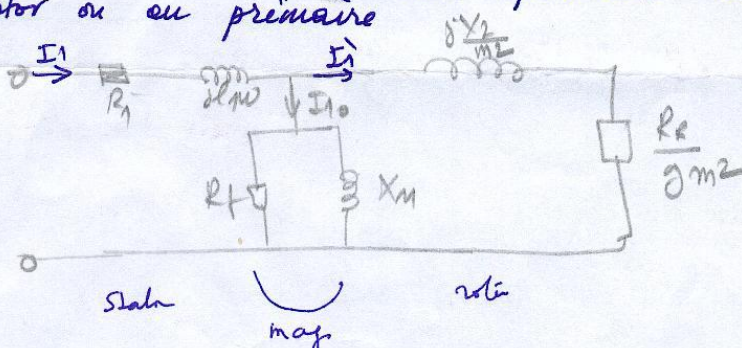
Ce résultat permet d'obtenir un nouveau schéma équivalent



Si on ramène le secondaire au primaire

$$\left\{ \begin{array}{l} \text{la résistance } \frac{R_R}{g} \text{ devient } \frac{R_R}{g m^2} \\ \text{la réactance } j X_2 \text{ devient } \frac{j X_2}{m^2} \end{array} \right.$$

On obtient donc le schéma équivalent de la rotors ramené au stator ou au primaire



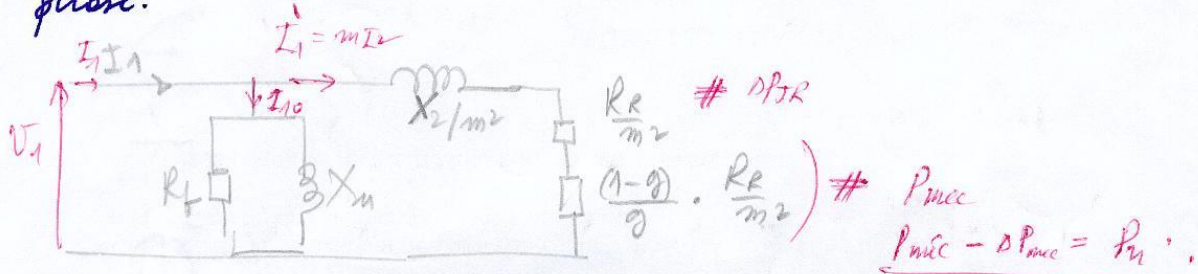
$$\frac{E_1}{j X_2} = m$$

$$I_1' = m I_2$$

On peut décomposer la résistance ramenée au primaire $\frac{R_E}{g m^2}$ 8 comme suit:

$$\frac{R_E}{g m^2} = \frac{(1-\theta)}{g} \frac{R_E}{m^2} + \underbrace{\frac{R_E}{m^2}}_{\text{Résistance correspondant aux pertes Joule rotoriq.}}$$

- On peut donc modifier le schéma équivalent de la MAS pour séparer les pertes Joule rotoriq. (P_{JR}) et la puissance mécanique
- On peut aussi négliger l'influence de R_2 et X_2 (résistances de la phase statorique et l'inductance de fuite statorique) ce qui permet d'obtenir le schéma équivalent simplifié par phase:



R_f : résistance équivalente des pertes fer

X_n : réactance à vide ou réactance magnétisante

$\frac{X_2}{m^2}$: réactance de fuite rotoriq. ramenée au stator

$\frac{R_E}{m^2}$: résistance correspondant aux pertes Joule rotoriq.

$\frac{R_E}{m^2} \left(\frac{1-\theta}{\theta} \right)$: résistance équivalente correspondant à la puissance mécanique.